



Оптимальная коммутируемая мощность
 Низкие динамические потери
 Малый заряд обратного восстановления
 Высокая стойкость к
 электротермоциклированию

Штыревой Быстровосста- навливающийся Диод Тип ДЧ261-320Х-14

Средний прямой ток	I_{FAV}		320 А	
Повторяющееся импульсное обратное напряжение	U_{RRM}		800...1400 В	
Время обратного восстановления	t_{rr}		3.2, 4.0, 5.0, 6.3 мкс	
U_{RRM} , В	800	1000	1200	1400
Класс по напряжению	8	10	12	14
T_j , °С	-60...+150			

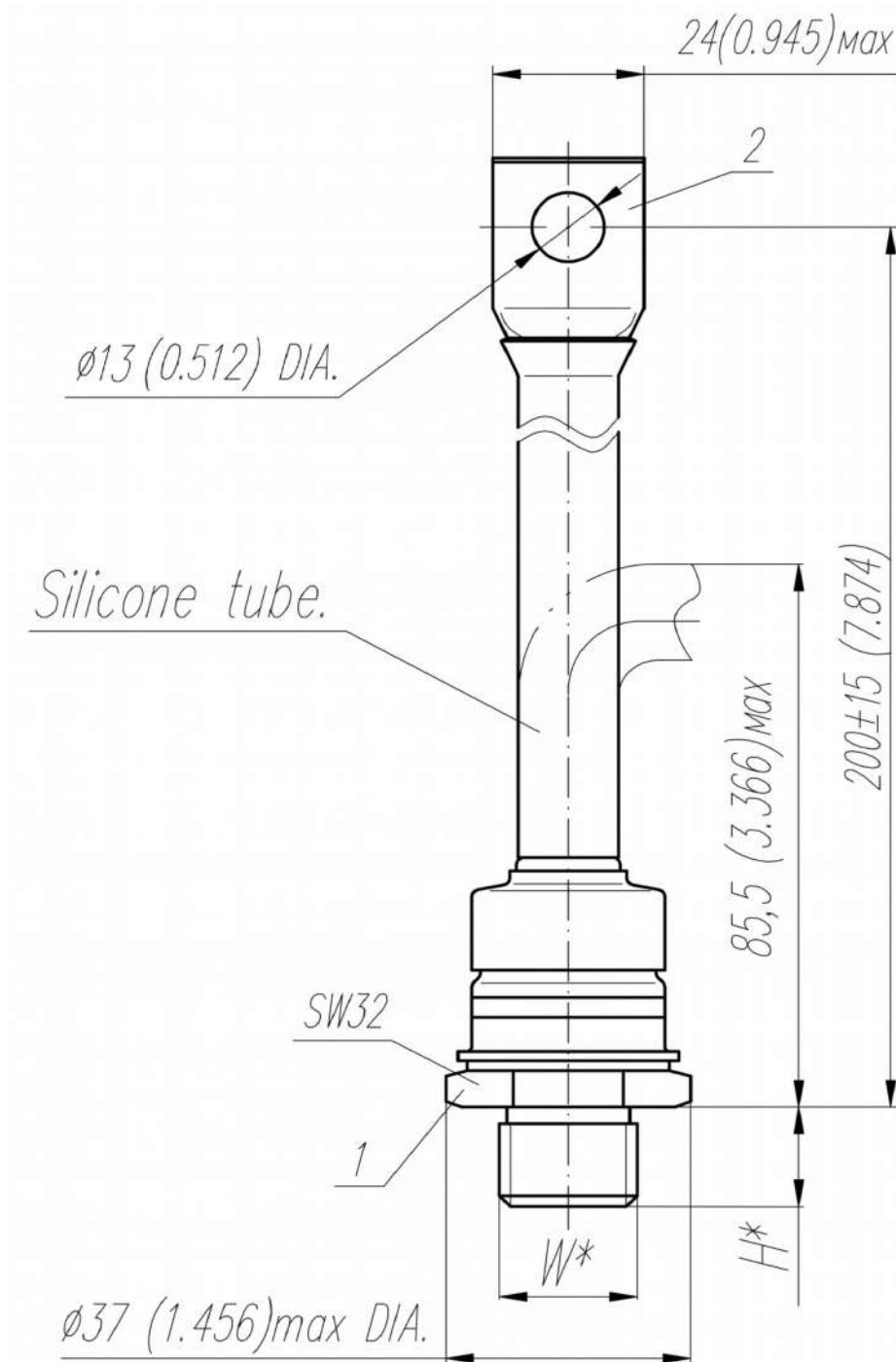
ПРЕДЕЛЬНО ДОПУСТИМЫЕ ЗНАЧЕНИЯ ПАРАМЕТРОВ

Обозначение и наименование параметра		Ед. изм.	Значение	Условия измерения	
Параметры в проводящем состоянии					
I_{FAV}	Максимально допустимый средний прямой ток	А	320 430	$T_c=87$ °С; $T_c=55$ °С; 180 эл. град. синус; 50 Гц	
I_{FRMS}	Действующий прямой ток	А	503	$T_c=87$ °С; 180 эл. град. синус; 50 Гц	
I_{FSM}	Ударный ток	кА	7.5 8.5	$T_j=T_{j\max}$ $T_j=25$ °С	180 эл. град. синус; $t_p=10$ мс; единичный импульс; $U_R=0$ В;
			8.0 9.0	$T_j=T_{j\max}$ $T_j=25$ °С	180 эл. град. синус; $t_p=8.3$ мс; единичный импульс; $U_R=0$ В;
I^2t	Защитный показатель	$A^2s \cdot 10^3$	280 360	$T_j=T_{j\max}$ $T_j=25$ °С	180 эл. град. синус; $t_p=10$ мс; единичный импульс; $U_R=0$ В;
			260 330	$T_j=T_{j\max}$ $T_j=25$ °С	180 эл. град. синус; $t_p=8.3$ мс; единичный импульс; $U_R=0$ В;
Блокирующие параметры					
U_{RRM}	Повторяющееся импульсное обратное напряжение	В	800...1400	$T_{j\min} < T_j < T_{j\max}$; 180 эл. град. синус; 50 Гц	
U_{RSM}	Неповторяющееся импульсное обратное напряжение	В	900...1500	$T_{j\min} < T_j < T_{j\max}$; 180 эл. град. синус; единичный импульс	
U_R	Постоянное обратное напряжение	В	$0.6 \cdot U_{RRM}$	$T_j=T_{j\max}$;	
Тепловые параметры					
T_{stg}	Температура хранения	°С	-60...+50		
T_j	Температура р-п перехода	°С	-60...+150		
Механические параметры					
M	Крутящий момент затяжки	Нм	20...30		
a	Ускорение	м/с ²	100		

ХАРАКТЕРИСТИКИ

Обозначение и наименование характеристики		Ед. изм.	Значение	Условия измерения
Характеристики в проводящем состоянии				
U_{FM}	Импульсное прямое напряжение, макс	В	1.70	$T_j=25\text{ }^\circ\text{C}; I_{FM}=1005\text{ A}$
$U_{F(TO)}$	Пороговое напряжение, макс	В	0.948	$T_j=T_{j\text{ max}};$ $0.5 \pi I_{FAV} < I_T < 1.5 \pi I_{FAV}$
r_T	Динамическое сопротивление, макс	МОм	0.712	
Блокирующие характеристики				
I_{RRM}	Повторяющийся импульсный обратный ток, макс	мА	40	$T_j=T_{j\text{ max}};$ $U_R=U_{RRM}$
Динамические характеристики				
Q_r	Заряд восстановления, макс	мкКл	300	$T_j=T_{j\text{ max}}; I_{FM}=I_{FAV};$ $di_R/dt=-100\text{ A/мкс};$ $U_R=100\text{ В};$
t_{rr}	Время обратного восстановления, макс	мкс	3.2, 4.0, 5.0, 6.3	
I_{rr}	Обратный ток восстановления, макс	А	188	
Тепловые характеристики				
R_{thjc}	Тепловое сопротивление р-п переход-корпус, макс	$^\circ\text{C/Вт}$	0.1300	Постоянный ток
Механические характеристики				
m	Масса, макс	г	240	
D_s	Длина пути тока утечки по поверхности	мм (дюйм)	12.4 (4.882)	
D_a	Длина пути тока утечки по воздуху	мм (дюйм)	12.4 (4.882)	

МАРКИРОВКА							ГРУППА ПО ВРЕМЕНИ ОБРАТНОГО ВОССТАНОВЛЕНИЯ				
ДЧ	261	320	X	14	K4	УХЛ2	Обозначение группы	K4	H4	E4	C4
1	2	3	4	5	6	7	t_{rr} , мкс	3.2	4	5	6.3
1. ДЧ — Быстровосстанавливающийся диод 2. Конструктивное исполнение 3. Средний прямой ток, А 4. Полярность: X – обратная; прямая - не указывается 5. Класс по напряжению 6. Группа по времени обратного восстановления 7. Климатическое исполнение по ГОСТ 15150: УХЛ2, Т2											



Тип Резьбы	W	H
Метрическая Резьба Тип А	M16x1,5 – 8g	13
Метрическая Резьба Тип В(по требованию)	M20x1,5 – 8g	15

Полярность	Пример маркировки	Условное обозначение	Цвета	
			Анод	Катод
Катод на основании	ДЧ261-320X-14	⚡	Черная трубка	-

Все размеры в миллиметрах (дюймах)

Содержащаяся здесь информация является конфиденциальной и находится под защитой авторских прав. В интересах улучшения качества продукции, АО «Протон-Электротекс» оставляет за собой право изменять информационные листы без уведомления.

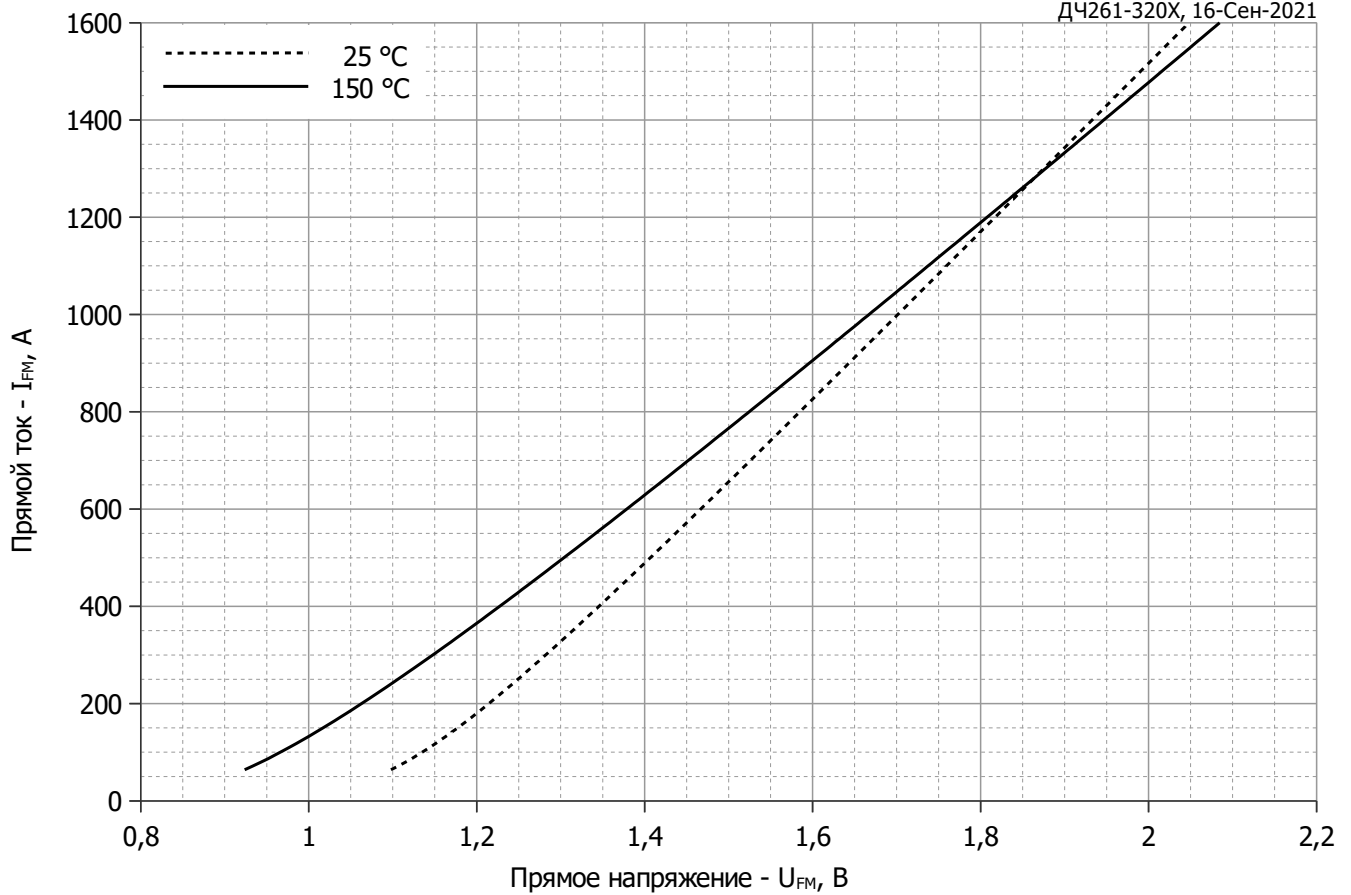


Рис. 1 – Предельная вольт–амперная характеристика

Аналитическая функция предельной вольт — амперной характеристики:

$$U_F = A + B \cdot i_F + C \cdot \ln(i_F + 1) + D \cdot \sqrt{i_F}$$

	Коэффициенты для графика	
	$T_j = 25^\circ\text{C}$	$T_j = T_{j \max}$
A	0.85598743	0.72023977
B	0.00060407	0.00063898
C	0.05858130	0.03487063
D	-0.00516698	0.00211727

Модель предельной вольт – амперной характеристики (см. Рис. 1).

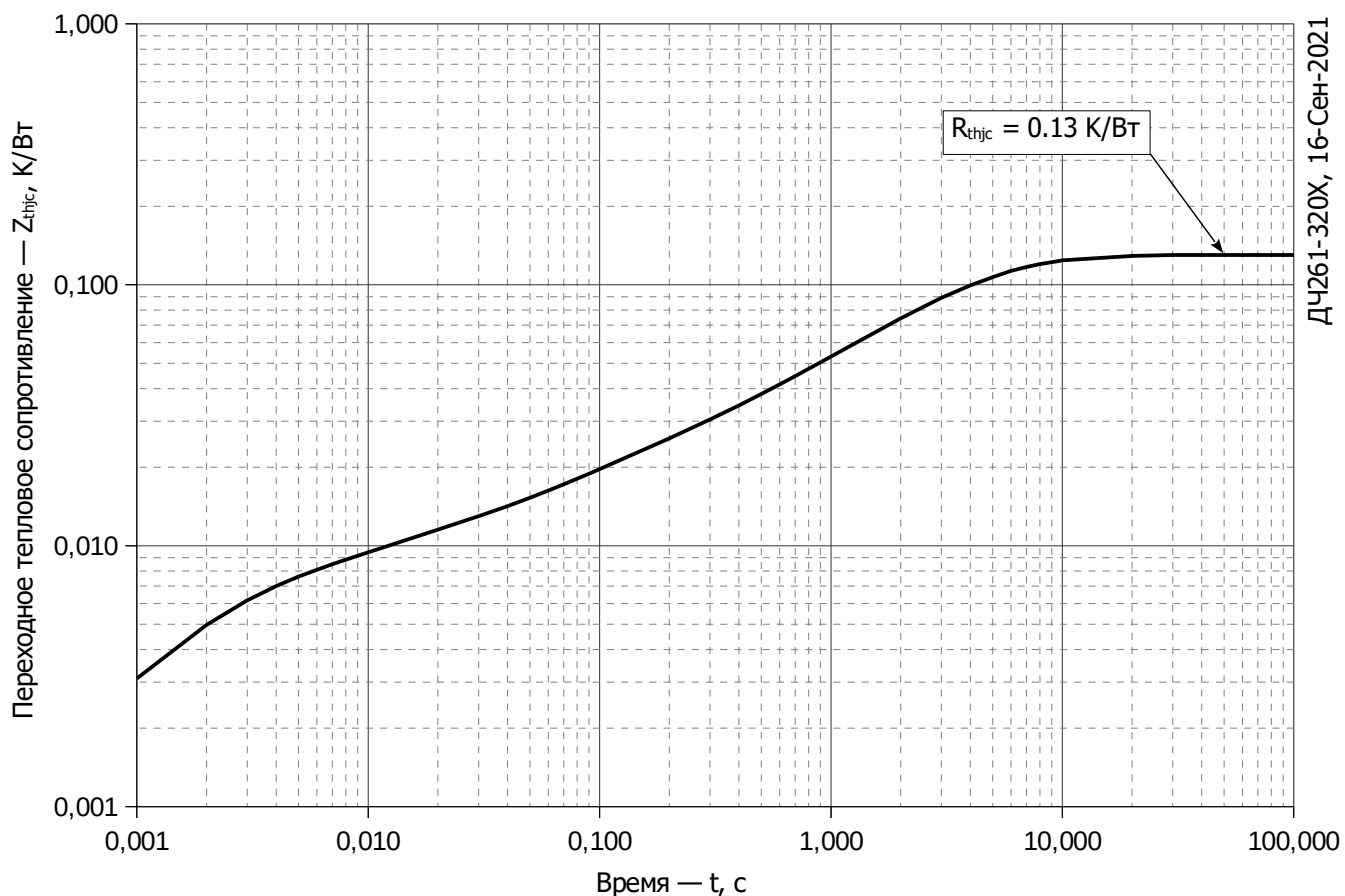


Рис. 2 – Зависимость переходного теплового сопротивления Z_{thjc} от времени t

Аналитическая зависимость переходного теплового сопротивления переход — корпус:

$$Z_{thjc} = \sum_{i=1}^n R_i \left(1 - e^{-\frac{t}{\tau_i}} \right)$$

Где $i = 1$ до n , n – число суммирующихся элементов.

t = продолжительность импульсного нагрева в секундах.

Z_{thjc} = Тепловое сопротивление за время t .

R_i, τ_i = расчетные коэффициенты, приведенные в таблице.

Постоянный ток

i	1	2	3	4	5	6
$R_i, \text{K/W}$	0.05504	0.0516	0.007369	0.006977	0.003512	0.005502
$\tau_i, \text{с}$	4.409	2.183	0.3382	0.07307	0.008189	0.001615

Модель переходного теплового сопротивления переход - корпус (см. Рис. 2)

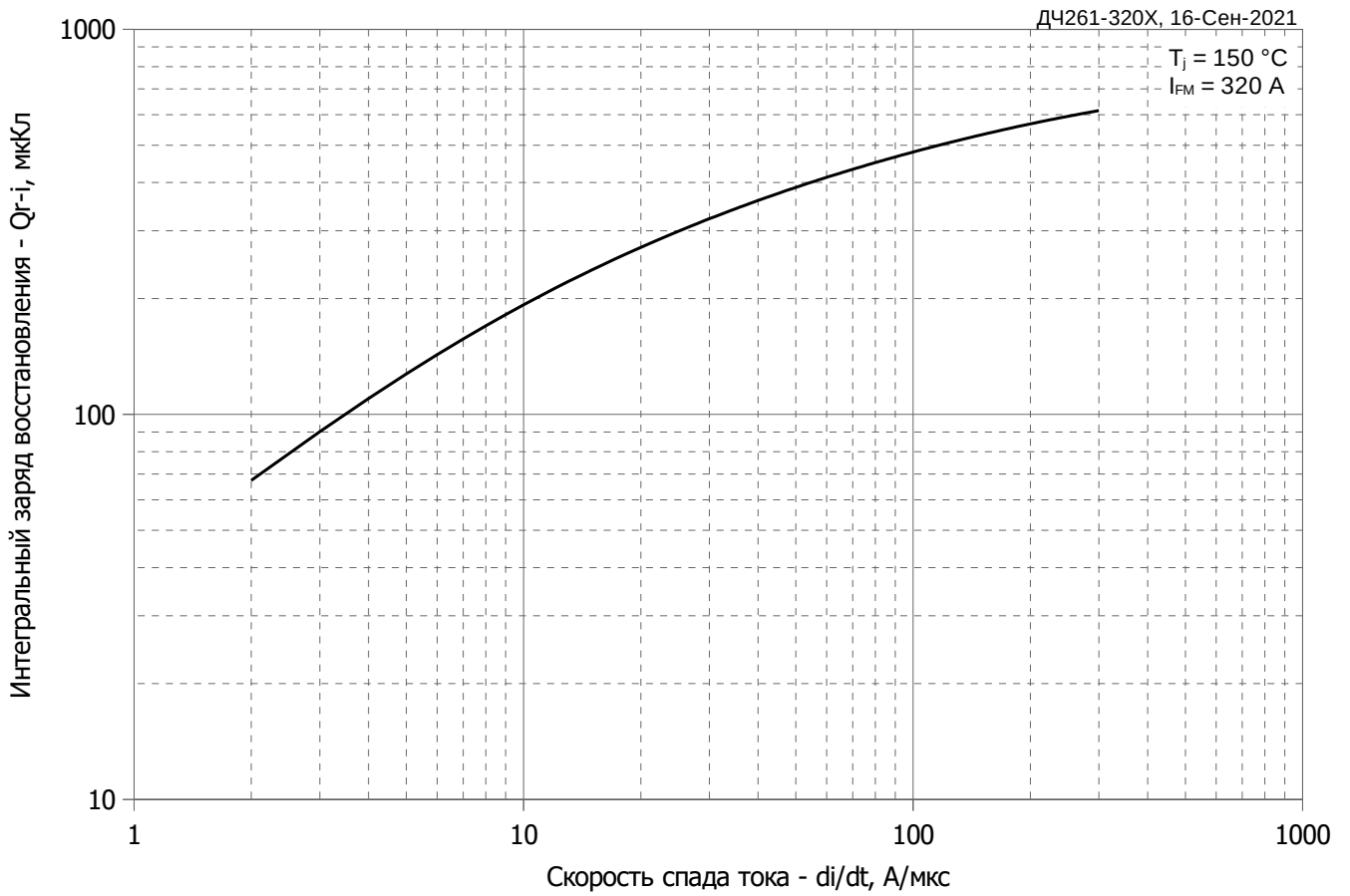


Рис. 3 – Зависимость максимального интегрального заряда восстановления Q_{r-i} от скорости спада прямого тока di_R/dt

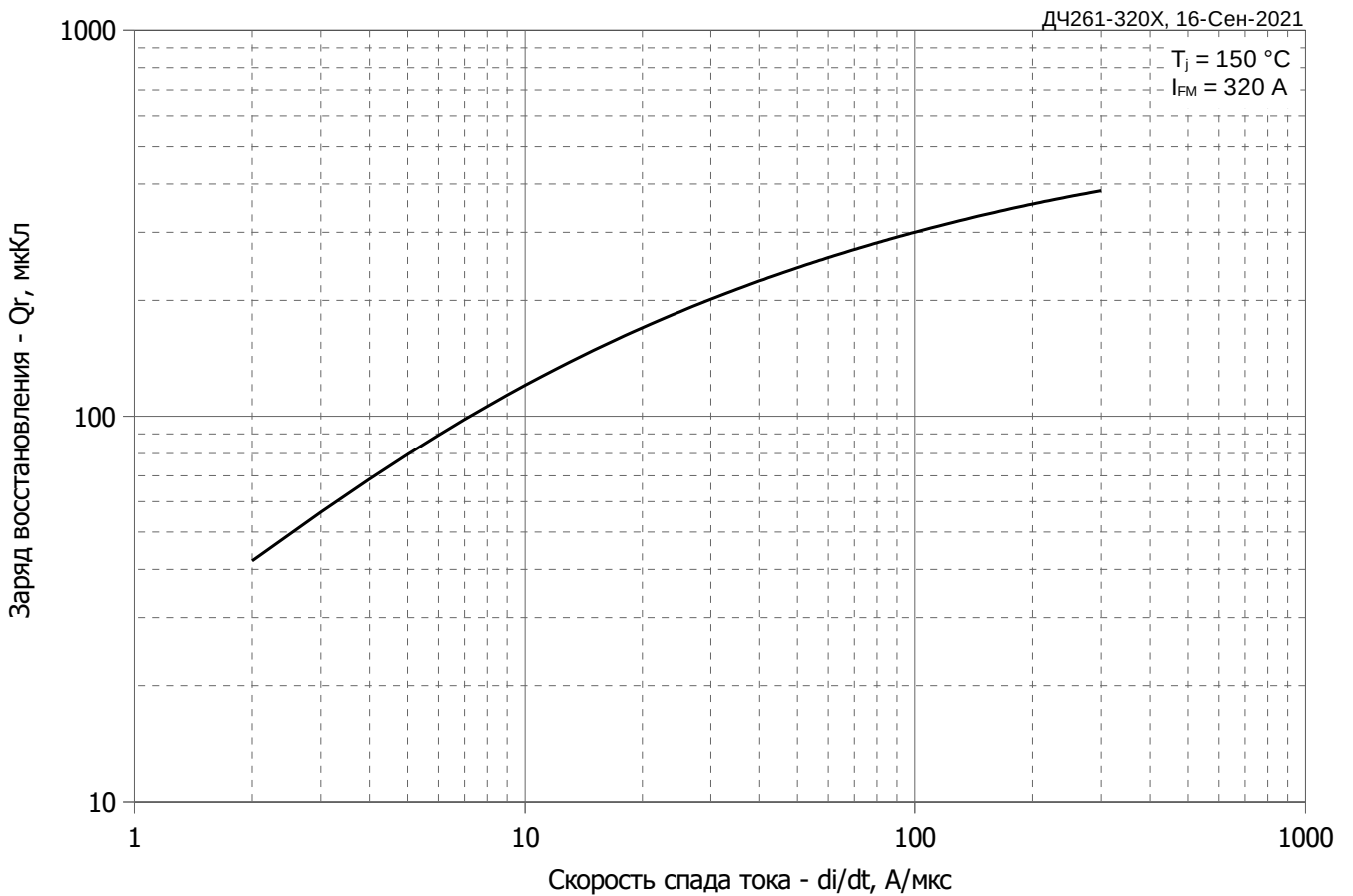


Рис. 4 – Зависимость максимального заряда восстановления Q_r от скорости спада прямого тока di_R/dt (по ГОСТ 24461, хорда 25%)

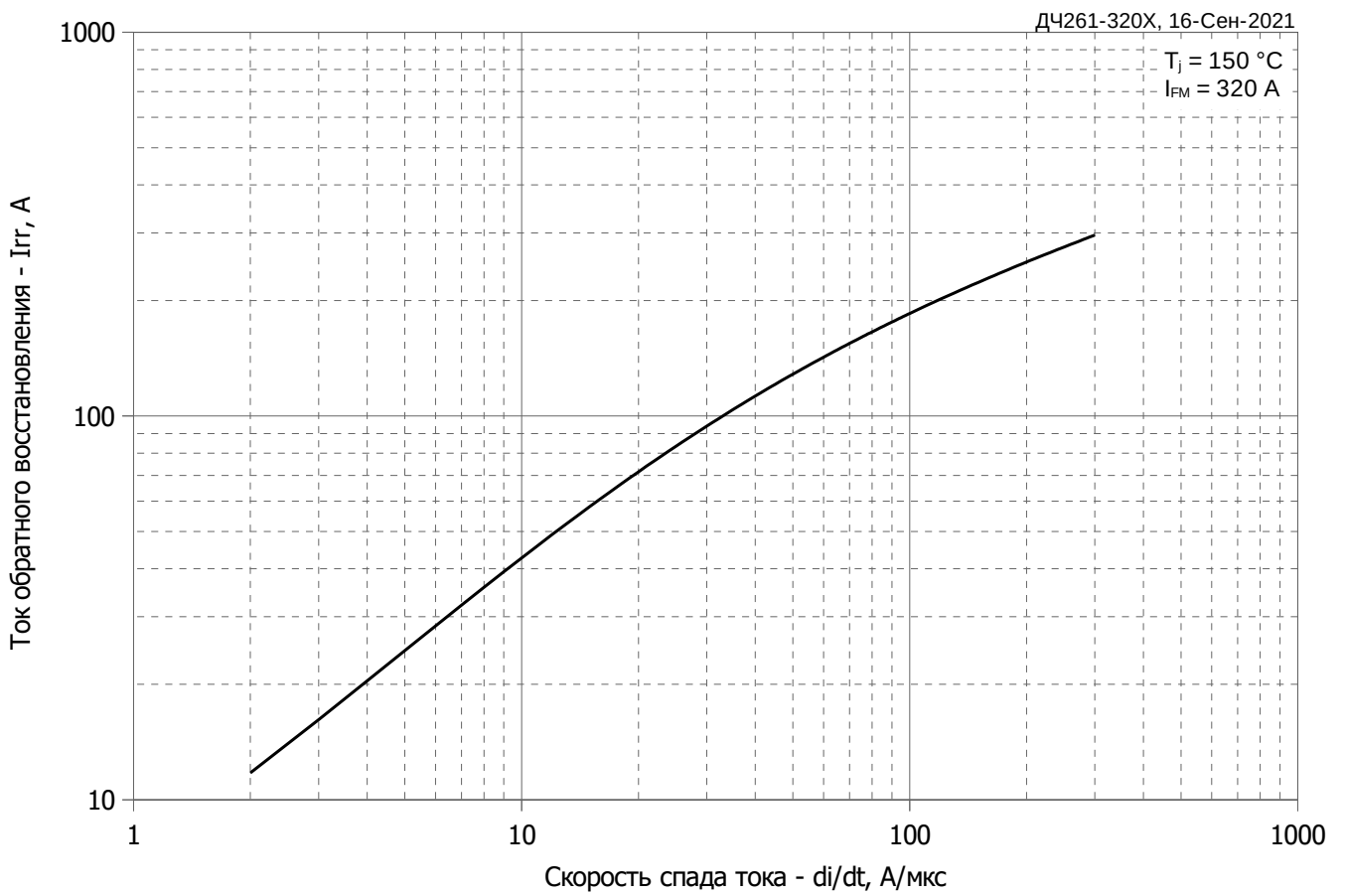


Рис. 5 – Зависимость максимального тока обратного восстановления I_{rr} от скорости спада прямого тока di_R/dt

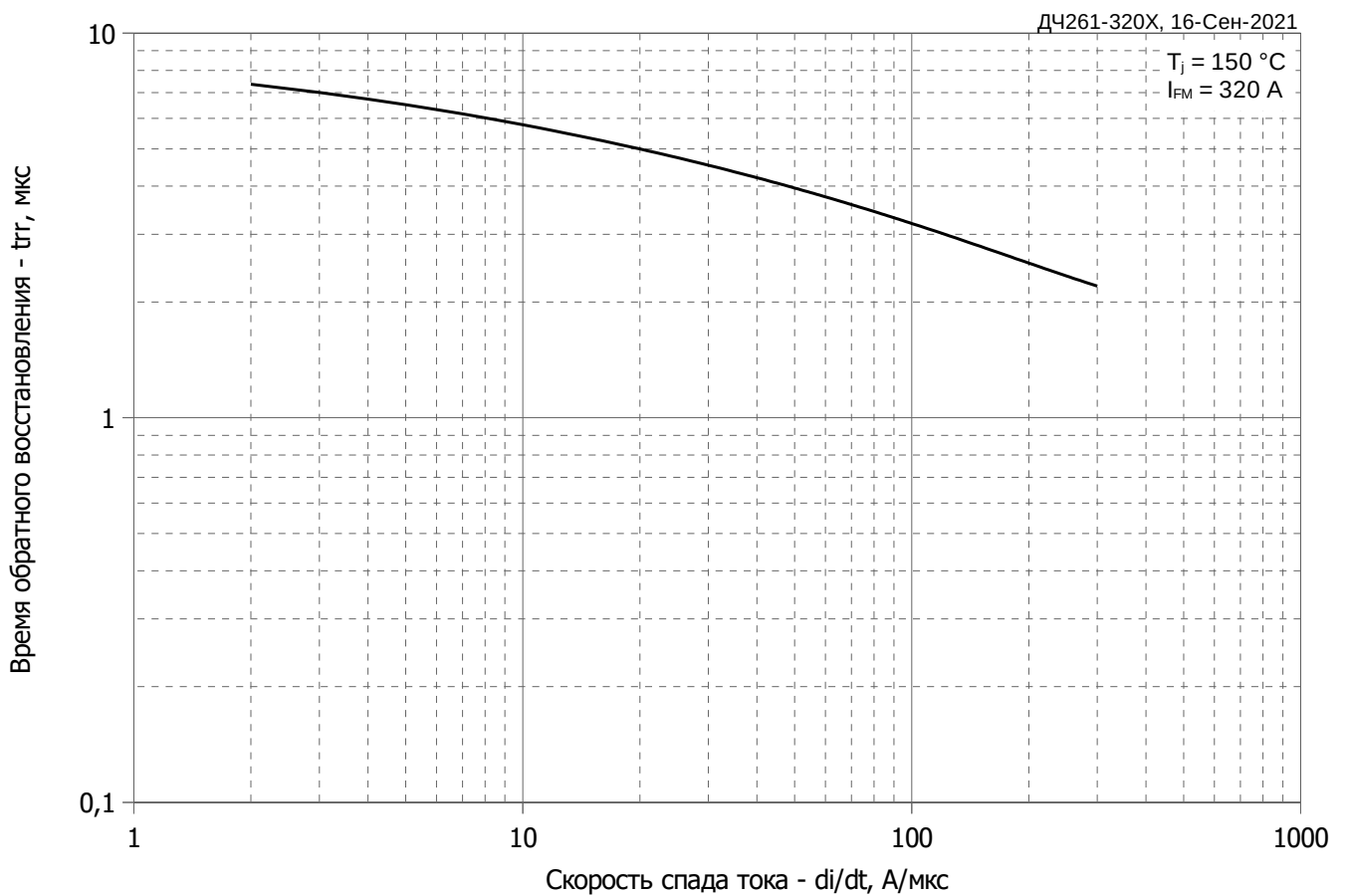


Рис. 6 - Зависимость максимального времени обратного восстановления t_{rr} от скорости спада прямого тока di_R/dt (по ГОСТ 24461, хорда 25%)

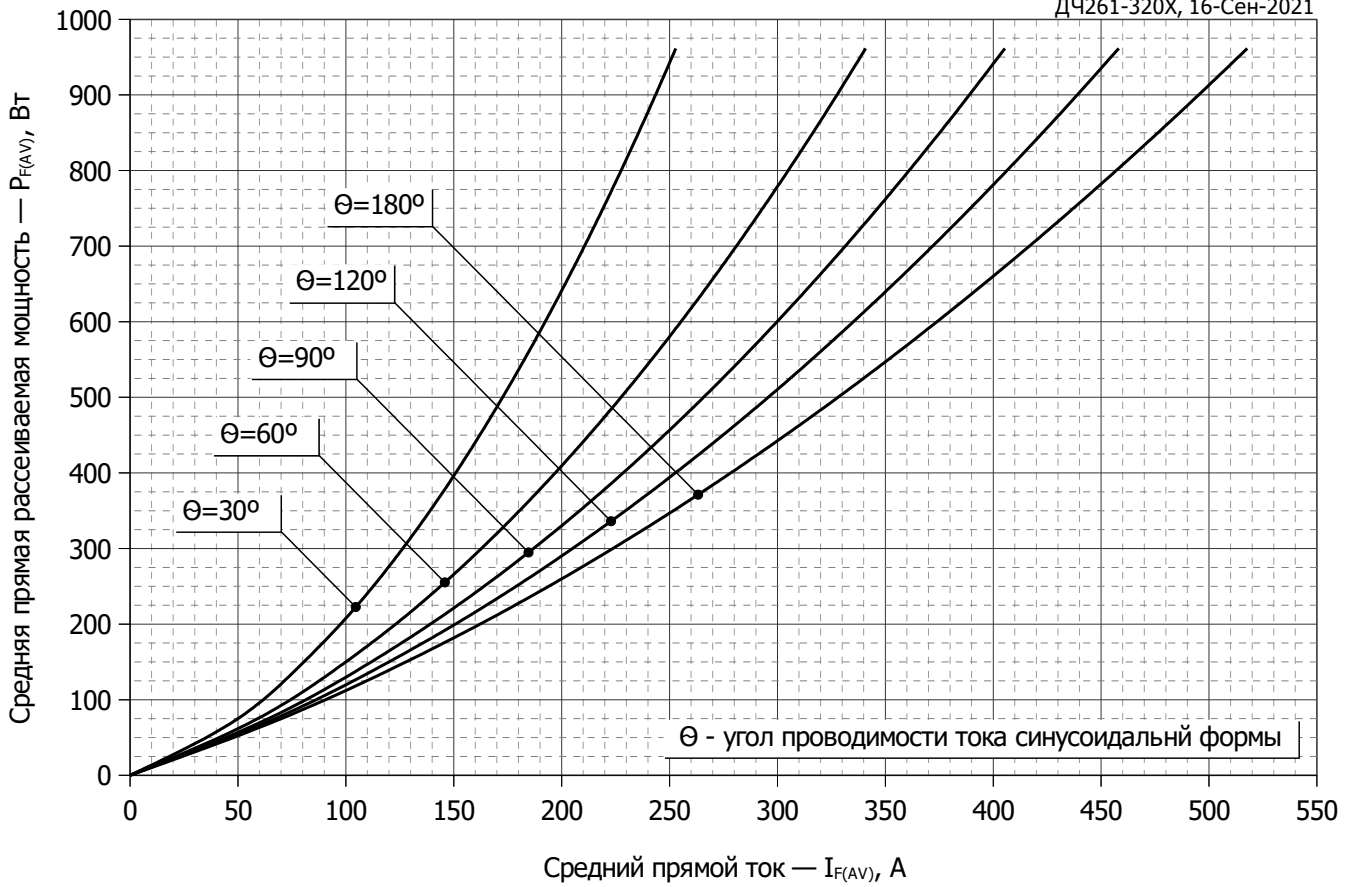


Рис. 7 - Зависимость потерь мощности $P_{F(AV)}$ от среднего прямого тока $I_{F(AV)}$ синусоидальной формы при различных углах проводимости ($f=50$ Гц)

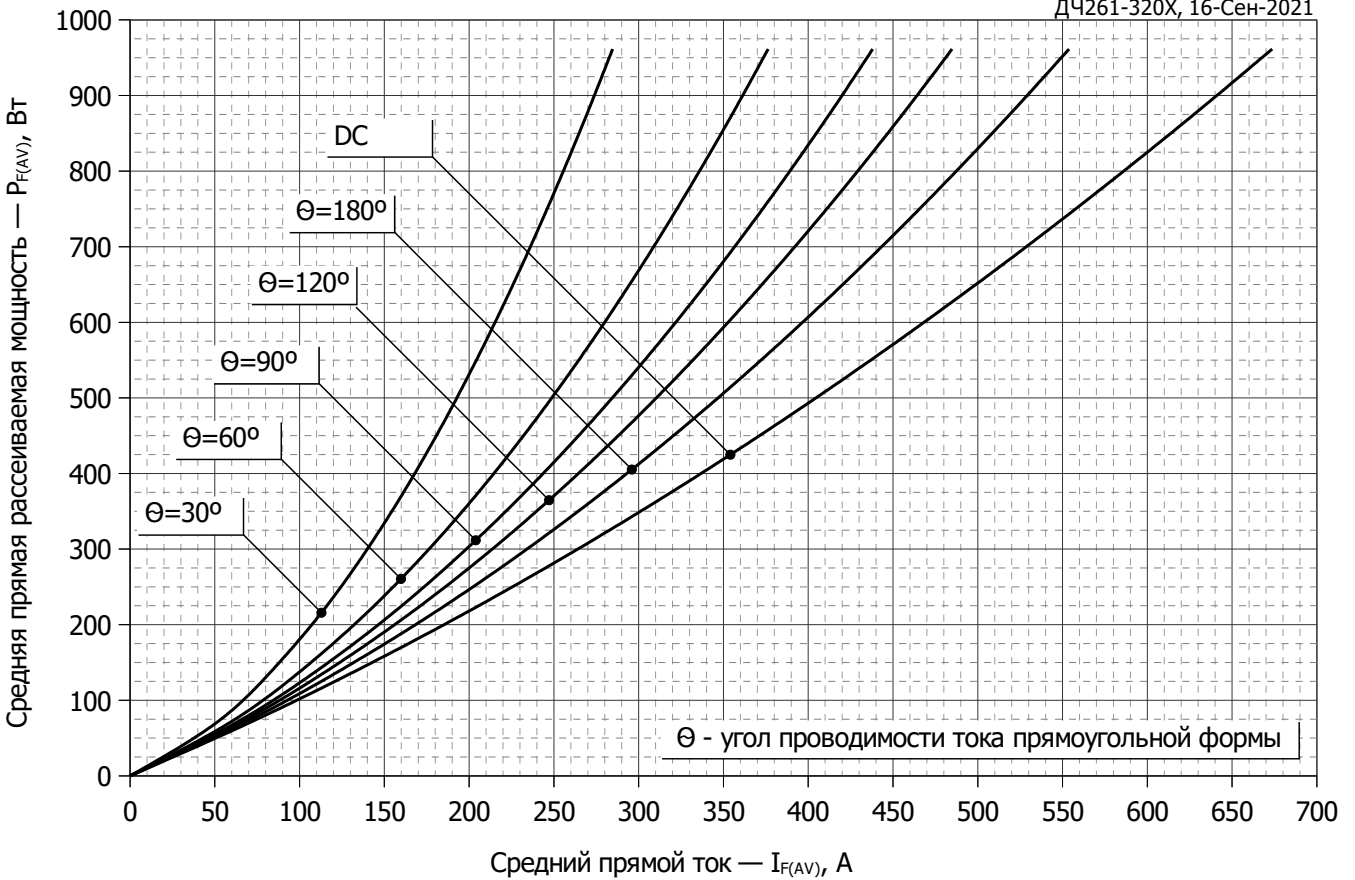


Рис. 8 – Зависимость потерь мощности $P_{F(AV)}$ от среднего прямого тока $I_{F(AV)}$ прямоугольной формы при различных углах проводимости ($f=50$ Гц)

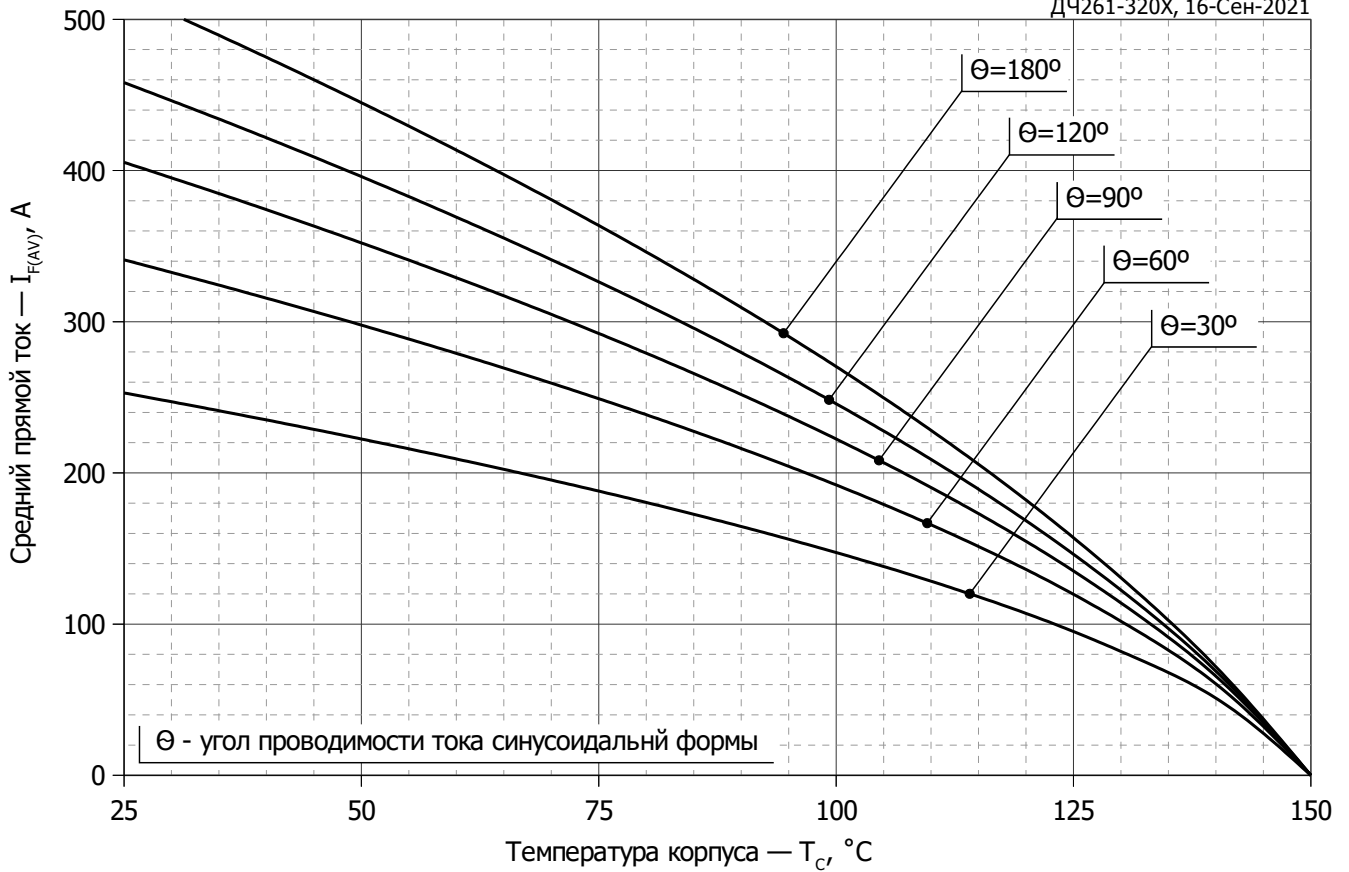


Рис. 9 – Зависимость среднего прямого тока I_{FAV} от температуры корпуса T_c для синусоидальной формы тока при различных углах проводимости ($f=50$ Гц)

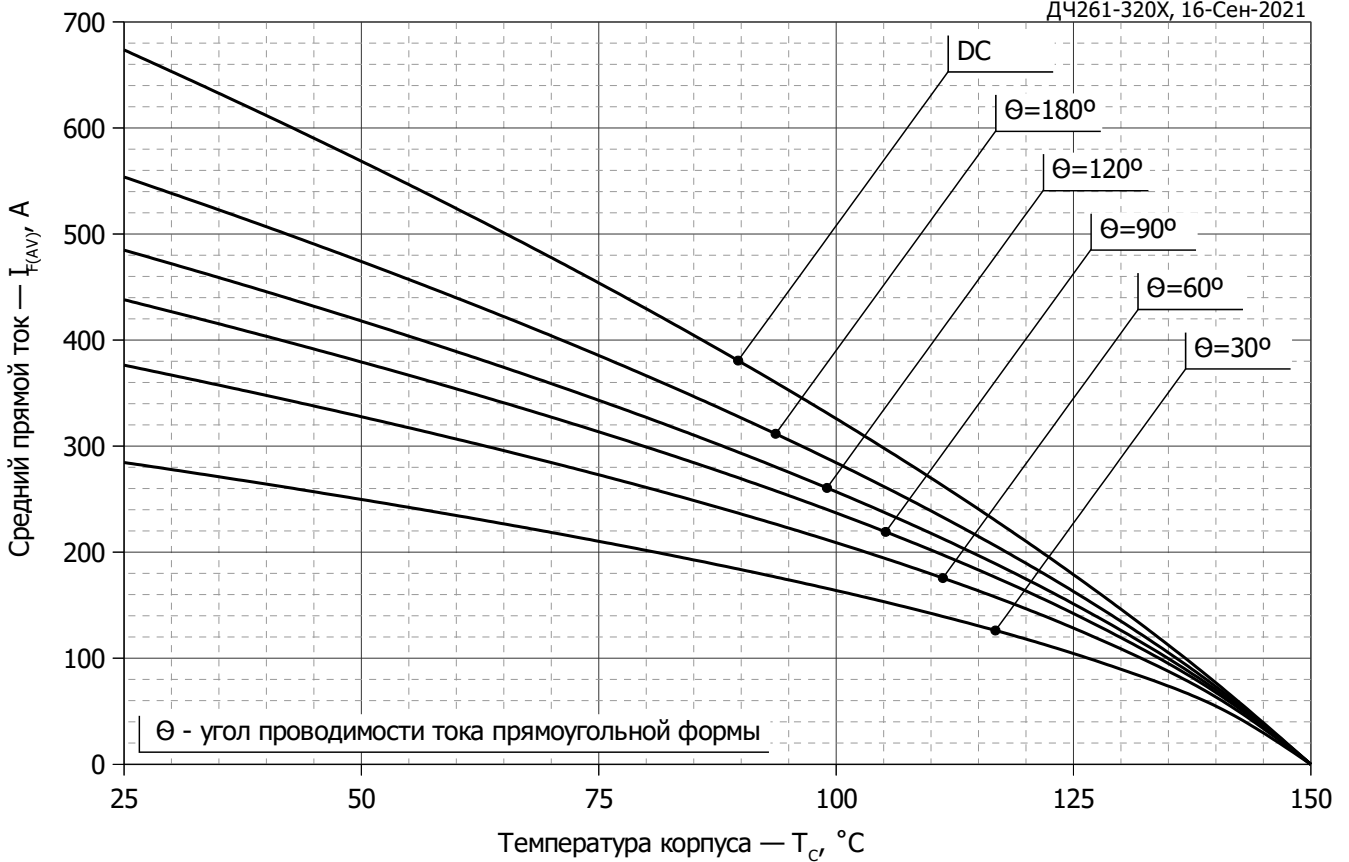


Рис. 10 - Зависимость среднего прямого тока I_{FAV} от температуры корпуса T_c для прямоугольной формы тока при различных углах проводимости ($f=50$ Гц)

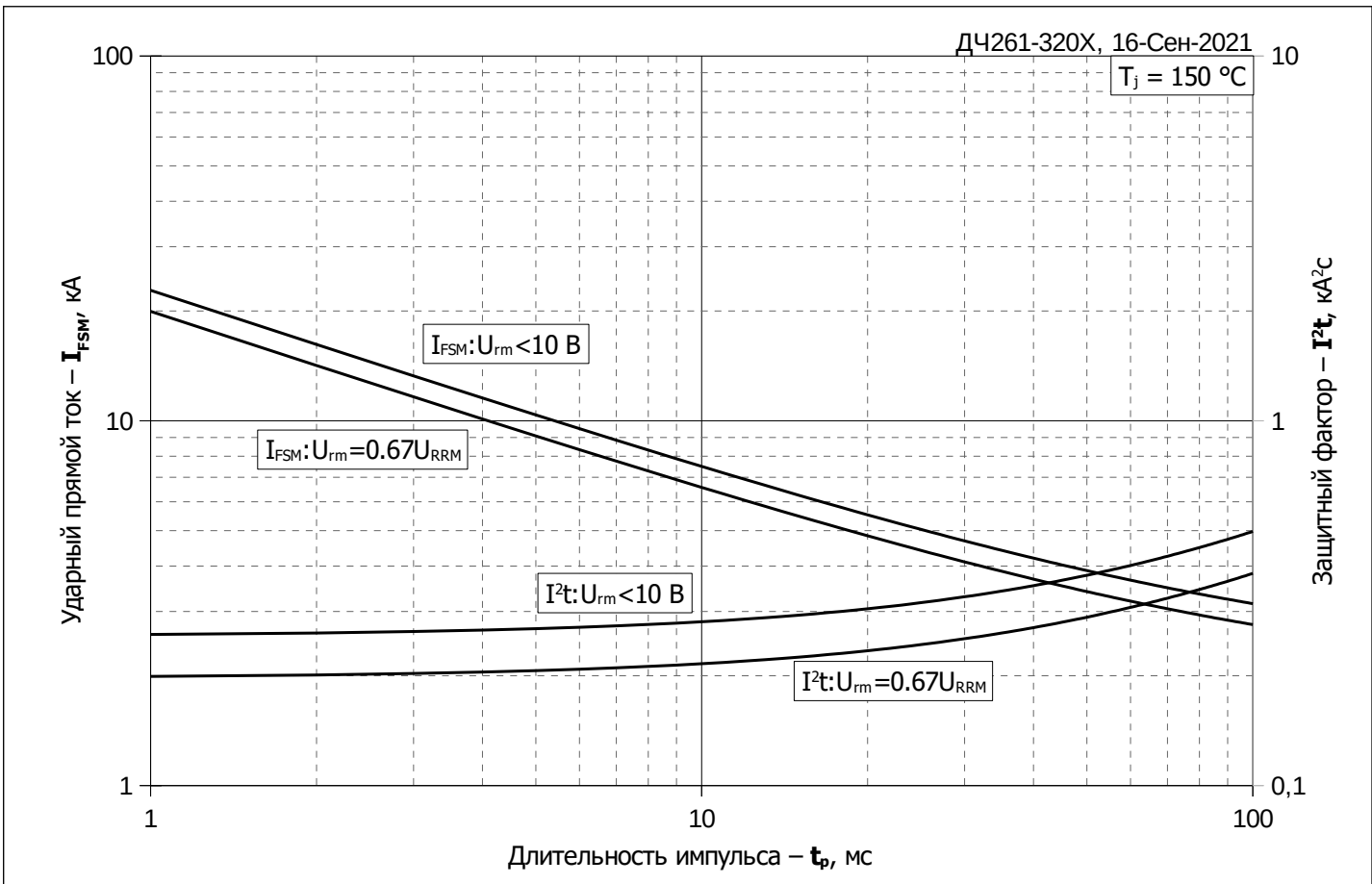


Рис. 11 – Зависимость максимальной амплитуды ударного прямого тока I_{FSM} и защитного фактора I^2t от длительности импульса t_p

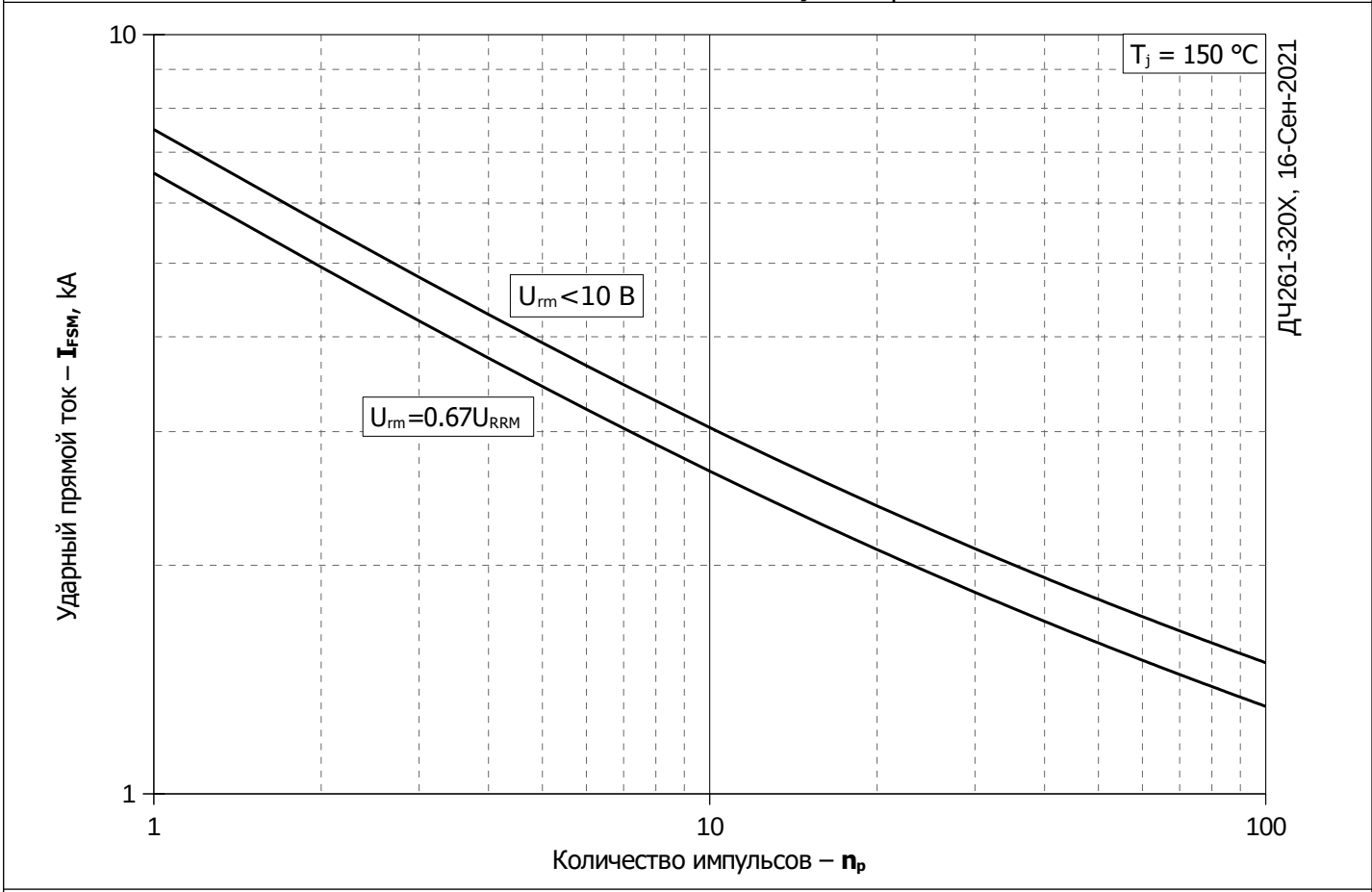


Рис. 12 – Зависимость максимальной амплитуды ударного прямого тока I_{FSM} от количества импульсов n_p